

اثر کلاستوژنیک امواج فراصوتی درمانی به تنهايي يا همراه با پروکاربازين هيدروكلرايد بر روی مغز استخوان نوزاد موش صحرائي

حسن صابري[†], حسین مزداراني[‡], M.Sc.^{*}

[†] دانشگاه تربیت مدرس، دانشکده علوم پزشکی، بخش فیزیک پزشکی

[‡] دانشگاه تربیت مدرس، دانشکده علوم پزشکی، گروه رادیولوژي

* آدرس مکاتبه: تهران، صندوق پستی: ۱۱۱-۱۴۱۱۵، دانشگاه تربیت مدرس، گروه رادیولوژي

چکیده

* **هدف:** بررسی اثر کلاستوژنیک امواج فراصوتی درمانی پوسته به تنهايي و يا همراه با داروي شيمي درمانی پروکاربازين هيدروكلرايد (PCZ: Procarbazine hydrochloride) بر روی اريتروسيتهاي مغز استخوان نوزادان موش صحرائي.

* **مواد و روشها:** نوزادان پنج روزه موش صحرائي تحت تابش امواج فراصوتی پوسته با توانهای ۵/۰، ۱۰ و ۲۰ وات بر سانتي متر مربع قرار گرفتند و با دزهای ۲۰، ۴۰ و ۸۰ ملي گرم بر كيلو گرم وزن بدن PCZ تيمار شدند. در زمانهای مختلف ۲۴، ۴۸ و ۷۲ ساعت پس از تابش امواج فراصوتی يا تيمار با دارو به تنهايي يا به طور توان از مغز استخوان نوزادان موش صحرائي نمونه گيري به عمل آمد. پس از تهيه سوسپانسيون سلولی و تهيه لام، سلولها در رنگ مای گرانولد و گيما رنگ آميزي شد. فراوانی ميكرونوكلي در سلولهای پلی كروماتيک اريتروسيتها (PCE: Polychromatic Erythrocyte) + نورموكروماتيک اريتروسيتها (NCE: Normochromatic Erythrocyte) برای ارزیابی توکسيتی دارو و امواج فراصوتی محاسبه شد.

* **یافتهها:** نتایج نشان می دهد که امواج فراصوتی پوسته در محدوده توانهای مورد استفاده در این پژوهش به تنهايي اثر کلاستوژنیک و سیتو توکسیک بر روی سلولهای اريتروسيتي مغز استخوان ندارد. لیکن هنگامی که با توان بالا $2W/cm^2$ به همراه داروي پروکاربازين هيدروكلرايد ($80mg/kg$) مورد استفاده قرار می گيرد، بدون ايجاد سمیت سلولی موجب افزایش اثر کلاستوژنیک دارو می شود.

* **نتیجه گيري:** اثر ايجاد شده با تيمار توان امواج فراصوتی و PCZ در سلولهای مغز استخوان موش صحرائي نزديك بر اثر هم افزايی است که مکانيزم ايجاد آن به درستی مشخص نیست. تصور می شود امواج فراصوتی بر غشای خارجي سلول تأثير گذاشته و موجب افزایش نفوذپذيری آن و تحريک مولکولها برای ايجاد راديکالهای آزاد می شود.

گل واژگان: امواج فراصوتی درمانی، پروکاربازين هيدروكلرايد، ميكرونوكلي، مغز استخوان، نوزاد موش صحرائي



مقدمه

در حال حاضر برای درمان سرطانها از دو روش رایج پرتو درمانی و شیمی درمانی استفاده می‌شود. پرتوهای پوتاز و داروهای شیمی درمانی علاوه بر سلولهای سرطانی بر سلولهای سالم بدن نیز اثر منفی بر جای می‌گذارند. از این رو اگر بتوان با روش‌های خاصی تأثیر آنها را بر روی سلولهای سرطانی محدود کرد، گام مهمی برای درمان سلولهای بدخیم و یا کم کردن قدرت تهاجمی آنها برداشته شده است. پژوهش‌های زیادی در این زمینه صورت گرفته با در حال انجام است. از آنجایی که پرتوهای یوناساز بر سلولهای سالم بدن تأثیر منفی می‌گذارند و از طرفی بر سلولهای هیپوکسیک اثر چنانی ندارند، اگر عامل دیگری بتواند با تأثیر مشابه بر سلولهای بدخیم اثر کمتری در بافت‌های سالم ایجاد کند جایگزین بهتری به حساب می‌آید.

در چند دهه گذشته تحقیقات بسیاری مبنی بر استفاده از امواج فرماحتی همراه با عوامل درمانی دیگر از جمله پرتوهای یوناساز (Roche) سوئیس) استفاده شد. پروکاربازین در سرم فیزیولوژی استریل به صورت محلول در آمده و با دوزهای ۴۰، ۲۰ و ۸۰ میلی‌گرم بر کیلوگرم وزن بدن نوزادان از طریق حفره صفاقی (i.p.)^۱ با سرنگ انسولین تزریق شد.

۹۸

*** تابش امواج فرماحتی**

از دستگاه درمانی Sonopuls 434 (هلند Enraf-Nonius) استفاده شد. در این آزمایش از سر درمانی مخصوص فرکانس در محدوده ۱MHz که دارای سطح ۶/۲ سانتی‌متر مربع است استفاده شد. برای تابش دهی، ابتدا نوزادان درون نگهدارنده مخصوص که به منظور این کار طراحی شده بود قرار گرفتند و سپس به صورت عمودی درون ظرف تابش دهی محتوی آب قرار داده شدند، به طوری که تابش دهی از گردن نوزادان در آب قرار می‌گرفتند. آب درون ظرف قبل از انجام آزمایش جوشانیده می‌شد تا عاری از گاز شود. زمان تابش دهی پنج دقیقه و درجه حرارت آب ۳۷ سانتی‌گراد بود. در این برسی از سه توان ۵/۵، ۱۰ و ۲ وات بر سانتی‌متر مربع امواج فرماحتی برای تابش دهی نوزادان موش صحراوی استفاده شد.

*** نمونه‌گیری و تهیه میکرونوكلئی**

نوزادان در زمانهای ۲۶، ۲۸ و ۷۲ ساعت پس از تزریق دارو یا تابش امواج فرماحتی با استفاده از اتر بی‌هوش و کشته شدند. مغز استخوان ران نوزادان با استفاده از ۲ سی سی سرم جنین گوساله (Sigma، FCS) استخراج و سوپاپانیون سلولی با مرگ (Merck) ثابت شوند. لامها با استفاده از رنگک مای گرانولد و گیمسا (Schmid و هیکاراش ۱۹، ۲۰، ۲۱ توسعه یافت، آزمون میکرونوكلئی که توسط توافق متئر پروتئین و ایجاد شکست کروموزوم شود، این دارو برای درمان سرطانهای ریه و بیماری هوچکین و تومورهای مغزی کاربرد دارد. سیستم مغز استخوان که از حسامترین سیستمهای در بدن پستانداران به عوامل فیزیکی و شیمیابی است، با استفاده از روش سنجش میکرونوكلئی بررسی شد. آزمون میکرونوكلئی که توسط Schmid و هیکاراش (۱۹، ۲۰، ۲۱ توسعه یافت، آزمون بسیار حساس و دقیقی است که برای شناسایی تغییرات ژنتیکی ناشی از عوامل فیزیکی و شیمیابی به طور گسترده‌ای استفاده می‌شود. میکرونوكلئی به صورت یک هسته کوچک محصور شده با غشاء در سیتوپلاسم سلولهای پوکاربروت پس از تماس با عوامل ژنوتوكسیک ظاهر می‌شود. در این تحقیق روند ایجاد میکرونوكلئی در سلولهای PCE با توانهای مختلف امواج فرماحتی درمانی پیوسته به تهایی با در حضور پروکاربازین

هیدروکلراید بررسی شد.

مواد و روشها

* نوزادان موش صحراوی

موشهای صحراوی ماده سه ماهه به همراه تعدادی موش صحراوی نر از استیتو رازی کرج تهیه شد. سپس در اوایل شب یک موش صحراوی نر با دو موش صحراوی ماده در یک قفس قرار داده شد. صبح روز بعد با مشاهده پلاک واژنی موشهای صحراوی ماده از بقیه جدا و در قفس جداگانه‌ای نگهداری شدند. نوزادان در روز پنجم تحت تابش آب، غذاء، نور و گرما نگهداری شدند. نوزادان در روز پنجم تحت تابش آب، غذاء، دارو قرار گرفتند. وزن نوزادان مورد بررسی بین ۱۲-۸ کیلوگرم بود.

* قیمار با داروی پروکاربازین هیدروکلراید

از کپبولهای ۵۰ میلی‌گرمی پروکاربازین هیدروکلراید (Roche سوئیس) استفاده شد. پروکاربازین در سرم فیزیولوژی استریل به صورت محلول در آمده و با دوزهای ۴۰، ۲۰ و ۸۰ میلی‌گرم بر کیلوگرم وزن بدن نوزادان از طریق حفره صفاقی (i.p.)^۱ با سرنگ انسولین تزریق شد.

* تابش امواج فرماحتی

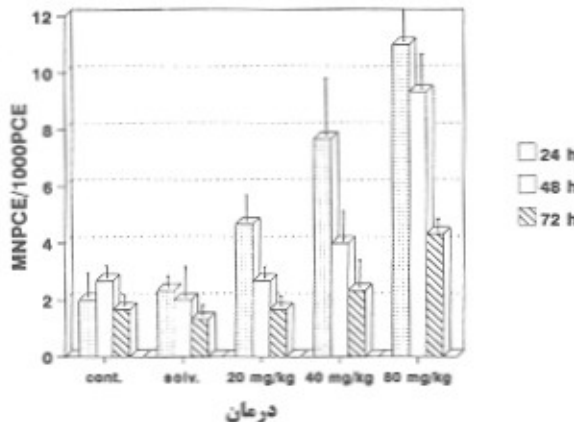
از دستگاه درمانی Sonopuls 434 (هلند Enraf-Nonius) استفاده شد. در این آزمایش از سر درمانی مخصوص فرکانس در محدوده ۱MHz که دارای سطح ۶/۲ سانتی‌متر مربع است استفاده شد. برای تابش دهی، ابتدا نوزادان درون نگهدارنده مخصوص که به منظور این کار طراحی شده بود قرار گرفتند و سپس به صورت عمودی درون ظرف تابش دهی محتوی آب قرار داده شدند، به طوری که تابش دهی از گردن نوزادان در آب قرار می‌گرفتند. آب درون ظرف قبل از انجام آزمایش جوشانیده می‌شد تا عاری از گاز شود. زمان تابش دهی پنج دقیقه و درجه حرارت آب ۳۷ سانتی‌گراد بود. در این برسی از سه توان ۵/۵، ۱۰ و ۲ وات بر سانتی‌متر مربع امواج فرماحتی برای تابش دهی نوزادان موش صحراوی استفاده شد.

* نمونه‌گیری و تهیه میکرونوكلئی

نوزادان در زمانهای ۲۶، ۲۸ و ۷۲ ساعت پس از تزریق دارو یا تابش امواج فرماحتی با استفاده از اتر بی‌هوش و کشته شدند. مغز استخوان ران نوزادان با استفاده از ۲ سی سی سرم جنین گوساله (Sigma، FCS) استخراج و سوپاپانیون سلولی با مرگ (Merck) ثابت شوند. لامها با استفاده از رنگک مای گرانولد و گیمسا (Merck) تهیه شده به مدت ۲۴ ساعت در دمای انداختگاری شدند تا سلولها ثابت شوند. لامها با استفاده از رنگک مای گرانولد و گیمسا (Merck)

1. Intraperitoneal
2. Fetal Calf Serum

نمونه‌گیری ۴۸ و ۷۲ ساعت فراوانی میکرونوکلئی نسبت به زمان ۲۴ ساعت کاهش می‌یابد ولی روند افزایش میکرونوکلئی نسبت به دوز خطی است (نمودار ۲).



نمودار ۲: نمودار فراوانی میکرونوکلئی در سلولهای نوزادان موش صحرائی PCE نوزاد موس پروکاربازین (۰، ۲۰ و ۴۰ mg/kg وزن بدن) ۷۲ ساعت پس از شیمار با سه دوز داروی پروکاربازین (۰، ۲۰ و ۴۰ mg/kg وزن بدن) ارقام، میانگین بررسی سه نوزاد موس صحرائی برای هر زمان نمونه‌گیری است.

در عین حال با وجود القای مؤثر میکرونوکلئی، پروکاربازین برای سیشم مغز استخوان و تکثیر سلولهای اریتروسیتی سیتو توکیک نیست (جدول ۱).

۹۹

جدول ۱: فراوانی میکرونوکلئی به ازای هزار سلول شمارش شده در هر نمونه و نسبت PCE/PCE+NCE در نوزادانی که علاوه بر پروکاربازین (۸۰ mg/kg) بر مععرض نایش امواج فرماصوتی با ثوانیهای ۰/۵ و ۱ و ۲ وات بر سانتی‌متر مربع قرار گرفته‌اند. اعداد مشارک (خطای استاندارد ± میانگین) هستند و هر یک از اعداد میانگین حاصل از سه نمونه است.

MN/1000PCE	PCE/PCE+NCE	زمان نمونه‌گیری	تیمار
۰/۰۰ ± ۱/۱۵	۰/۳۲۲ ± ۰/۰۲	۲۴ ساعت	کنترل
۰/۳۷۵ ± ۰/۰۸	۰/۳۲۰ ± ۰/۰۱۵	۴۸ ساعت	
۱/۰۷۵ ± ۰/۰۸	۰/۳۱۹ ± ۰/۰۲۲	۷۲ ساعت	
۰/۳۲۲ ± ۰/۰۲۲	۰/۳۴۸ ± ۰/۰۱۶	۲۴ ساعت	حال
۰/۰۰ ± ۱/۰۰	۰/۳۲۰ ± ۰/۰۱۲	۴۸ ساعت	
۱/۰۳۳ ± ۰/۰۲	۰/۳۲۴ ± ۰/۰۱۰	۷۲ ساعت	
۱/۰۰ ± ۱/۰۲	۰/۰۳۸ ± ۰/۰۲۵	۲۴ ساعت	PCZ
۰/۰۳۳ ± ۱/۰۰	۰/۰۳۲ ± ۰/۰۰۷	۴۸ ساعت	
۰/۰۳۳ ± ۰/۰۲	۰/۰۳۱ ± ۰/۰۰۲	۷۲ ساعت	
۰/۰۰ ± ۱/۰۰	۰/۰۵۰ ± ۰/۰۲۲	۲۴ ساعت	PCZ(۸۰ mg/kg)
۰/۰۰ ± ۱/۰۳	۰/۰۴۶ ± ۰/۰۱۱	۴۸ ساعت	
۰/۰۷ ± ۰/۰۲	۰/۰۳۱ ± ۰/۰۱۶	۷۲ ساعت	
۱/۰۰ ± ۱/۰۰	۰/۰۲۶ ± ۰/۰۱۸	۲۴ ساعت	PCZ(۸۰ W/cm ²)
۱/۰۰ ± ۱/۰۰	۰/۰۲۵ ± ۰/۰۱۳	۴۸ ساعت	
۰/۰۰ ± ۱/۰۰	۰/۰۲۷ ± ۰/۰۲۲	۷۲ ساعت	
۰/۰۰ ± ۱/۰۰	۰/۰۴۹۷ ± ۰/۰۰۹	۲۴ ساعت	PCZ(۸۰ mg/kg)
۰/۰۰ ± ۱/۰۰	۰/۰۵۹۰ ± ۰/۰۱۰	۴۸ ساعت	
۰/۰۰ ± ۱/۰۰	۰/۰۴۲۲ ± ۰/۰۰۹	۷۲ ساعت	

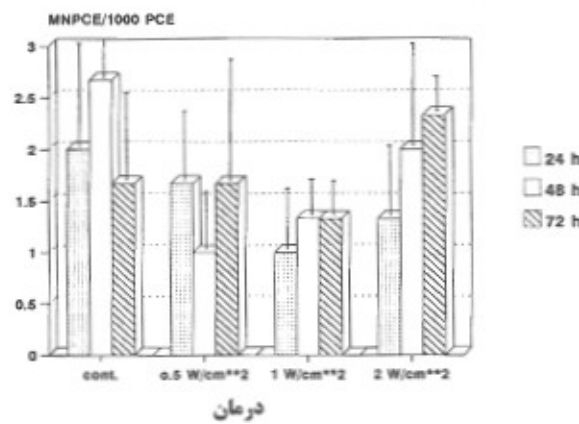
رنگ آمیزی شدند (۲۰). با این روش رنگ آمیزی سلولهای PCE به رنگ آبی متمایل به پشن و NCE به رنگ زرد متمایل به نارنجی در زیر میکروسکوپ قابل شناسایی هستند.

برای هر نوزاد تعداد ۱۰۰۰ سلول PCE شمارش و تعداد PCE‌های وارد میکرونوکلئی (MNPCE) ثبت شد. در عین حال تعداد NCE‌های موجود در میدان دید PCE ها نیز ثبت گردید. نسبت PCE/(PCE+NCE) که شاخصی برای بررسی سبب سلولی (سیتو توکیک) است، برای هر نمونه محاسبه شد.

برای هر دوز دارو و توان امواج فرماصوتی و در هر زمان نمونه‌گیری سه نوزاد موس صحرائی بررسی شد. تفاوت بین فراوانی میکرونوکلئی و نسبت PCE/(PCE+NCE) در دوزها و توانهای مختلف امواج فرماصوتی دارو با استفاده از آنالیز واریانس یک طرفه و آزمون t با استفاده از نرم‌افزار SPSS تعیین شد.

یافته‌ها

نتایج این بررسی در جدول ۱ و نمودارهای ۱-۳ تیمان داده شد. چنان‌که مشاهده می‌شود تابش امواج فرماصوتی توانهای مورد استفاده در این بررسی (۵-۲۰ W/cm²) منجر به افزایش فراوانی MNPCE نسبت به گروه شاهد شده است (نمودار ۱) و همچنین اثر سیتو توکیک پر روند تکثیر و تولید اریتروسیتها نداشته است (جدول ۱). آنالیز واریانس انجام شده بر اطلاعات حاصل از تابش امواج فرماصوتی اختلاف معنی‌داری را با گروه شاهد تیمان نمی‌دهد.



نمودار ۱: نمودار فراوانی میکرونوکلئی در ۱۰۰۰ سلول PCE بر هر نمونه ۴۸، ۷۲ ساعت پس از تابش امواج فرماصوتی با سه توان مختلف (۰، ۰/۵ و ۱ و ۲ وات بر سانتی‌متر مربع)

در نوزادانی که با دوزهای ۰، ۲۰، ۴۰ و ۸۰ میلی‌گرم بر کیلوگرم وزن بدن پروکاربازین هیدروکلراید تیمار شده بودند و در زمانهای ۲۴، ۴۸، ۷۲ ساعت از مغز استخوان آنها نمونه برداری شد، فراوانی میکرونوکلئی بیشتر میکرونوکلئی نسبت به گروه شاهد مشاهده شد. روند تشکیل میکرونوکلئی وابسته به دوز بود که با افزایش دوز پروکاربازین فرماصوتی میکرونوکلئی نیز افزایش یافت ($P < 0.05$). بیشترین تعداد میکرونوکلئی در زمان نمونه‌گیری ۲۴ ساعت مشاهده شد. اگرچه در زمانهای

in vitro با امواج فرماحتوی وجود دارد (۲۶-۲۹) و حتی در مورد جهش‌زایی امواج فرماحتوی پیوسته و ضربه‌ای نظر قطعی وجود ندارد (۱۱، ۳۰، ۳۱). بنابراین نتایج حاصل از بررسی میکرونوکلئی در سلولهای اریتروسیتی نوزادان موش صحرایی ثابت‌دهنده آن است که امواج فرماحتوی درمانی در توانهای مورد استفاده در این بررسی قادر به ایجاد آسیب کروموزومی مستقیم در سلول نیستند (جدول ۱، نمودار ۱). عدم قابلیت امواج فرماحتوی در ایجاد آسیب‌های کروموزومی در محدوده توانهای مورد استفاده در این بررسی با روش آنالیز متافاز و میکرونوکلئی نیز گزارش شده است (۳۲).

فرماحتوی بالای MNPCE در توانهای تیمار شده با ۴۰ و ۸۰ میلی‌گرم بر کیلوگرم پروکاربازین نشان‌دهنده کلاستوزنیک بودن این دارو در این دوزها است (جدول ۱، نمودار ۲).

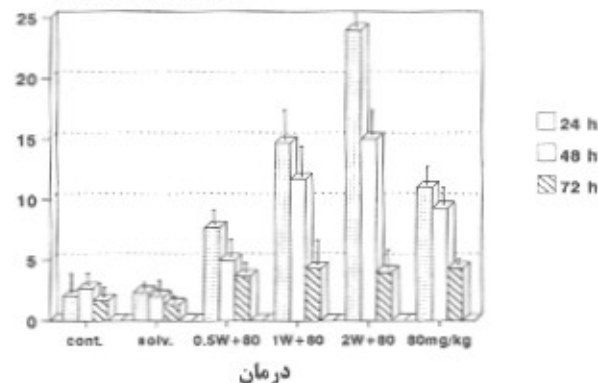
پروکاربازین هیدروکلراید از داروهای شبیه درمانی است که در گروه عوامل آلتیکله کننده قرار می‌گیرد. این عوامل ترکیبات فعالی هستند که قادر به تشکیل پیوندهای کووالانسی با بیانهای سوتفیدریل، آمین، هیدروکسیل، کربوکسیل و فضات مولکولهای چون اسیدهای نوکلئیک هستند (۳۴). مبتذل سلولی PCZ بیشتر به علت ایجاد پیوند با نوکلئوتیدهای مولکول DNA است که در صورت پیوند با سبب DNA می‌شوند که هسانندسازی به طور صحیح صورت نگیرد و پارگیهای نکدرشتهای یا دو رشته‌ای در مولکول DNA ایجاد شود. این آسیبها پس از تبدیل به شکستهای کروموزومی به صورت میکرونوکلئی در سلولهای PCE ظاهر می‌شوند.

با توجه به نتایج حاصل از بررسی فرماحتوی میکرونوکلئی در سلولهای PCE مغز استخوان نوزادانی که با پروکاربازین تیمار شده‌اند، مشاهده می‌شود که نوزادانی که ۴۰ و ۸۰ میلی‌گرم بر کیلوگرم دارو دریافت کرده‌اند با نوزادان کنترل و حلال تفاوت معنی‌داری دارند (نمودار ۲).

مشاهده افزایش معنی‌دار در فرماحتوی میکرونوکلئی در سلولهای PCE می‌تواند به علت پیوند داروی پروکاربازین با مولکول DNA باشد که سبب ایجاد تکرر شده یا دو رشته DNA و در نهایت تشکیل میکرونوکلئی می‌شود (۳۵). از طرف دیگر، تصور می‌شود که میکرونوکلئی در اثر رادیکالهای آزاد ناشی از پروکاربازین ایجاد می‌شود (۳۷، ۳۹). Romagna و همسکارانش بیشترین فرماحتوی میکرونوکلئی ناشی از پروکاربازین هیدروکلراید را در زمان ۴۸ ساعت پس از تیمار مشاهده کردند (۳۵). اما با توجه به آنکه آنها فرماحتوی میکرونوکلئی را در اریتروسیتی خون محیطی بررسی کردند، انتظار می‌رود بیشترین فرماحتوی میکرونوکلئی در سلولهای PCE مغز استخوان ۲۴ ساعت پس از تیمار با دارو مشاهده شود (۳۸)، از این رو می‌توان نتیجه گرفت که مشاهده بیشترین فرماحتوی میکرونوکلئی در سلولهای مغز استخوان با یافته‌های Romagna و همسکارانش مطابقت دارد (نمودار ۲). مشاهده افزایش فرماحتوی میکرونوکلئی در هر سه زمان نمونه‌برداری با افزایش دوز دارو (نمودار ۲) تأیینگر آن است که تأثیر

برای بررسی اثر همزمان توانهای مختلف، امواج فرماحتوی همراه با دوز ۸۰ mg/kg پروکاربازین که بیشترین تعداد میکرونوکلئی را ایجاد کرد، انتخاب و به صورت داخل صفاقی تزریق و پس از یک ساعت نوزادان به مدت ۵ دقیقه در معرض امواج فرماحتوی پیوسته با شدتهای ۵/۵-۰ وات بر ساعتی متر مربع قرار گرفتند. نتایج این بررسی در جدول ۱ و نمودار ۳ نشان داده شد، مشاهده می‌شود که تابش ۴۵W/cm² امواج فرماحتوی موجب کاهش فرماحتوی میکرونوکلئی نسبت به نوزادان که داروی تنها دریافت کرده‌اند شده است. بنابراین، با افزایش توان امواج فرماحتوی فرماحتوی میکرونوکلئی نیز افزایش می‌پاید (جدول ۱، نمودار ۳) طوری که با توان ۲W/cm² اثر هم افزایی با سبزیزم پرای تیمار توان امواج فرماحتوی و پروکاربازین (۸۰ mg/kg) در زمان ۲۴ ساعت مشاهده می‌شود که این اختلاف باگرودی که داروی تنها دریافت کرده‌اند با P=0.013 معنی‌دار است. جتنان که در جدول ۱ نیز مشاهده می‌شود تیمار توان امواج فرماحتوی و پروکاربازین بر قابلیت تکثیر اریتروسیتی‌های مغز استخوان تأثیر نداشته و آنالیز آماری انجام شده تفاوت معنی‌داری را بین این دو گروه و نوزادانی که داروی تنها دریافت داشته‌اند نشان نمی‌دهد.

MNPCE/1000 PCE



نمودار ۲: نمودار فرماحتوی میکرونوکلئی در سلولهای مغز استخوان نوزادان موش صحرایی، ۲ ساعت پس از تیمار با پروکاربازین (۸۰ mg/kg) و نتایج امواج فرماحتوی با توانهای ۰/۵، ۰ و ۸۰ وات بر ساعتی مربع (هر یک از ادمون میلکین حاصل از ۲ نمونه است).

بحث

سنحش میکرونوکلئی روشی کارآمد و مطمئن برای بررسی اثر کلاستوزنیک عوامل فیزیکی و شیمیایی است و تشکیل آن مستلزم ایجاد آسیب در مولکول DNA و در نهایت کروموزوم است. همان‌گونه که در نمودار ۱ نشان داده شد، پس از تابش امواج فرماحتوی پیوسته به سلولهای مغز استخوان تغییری در فرماحتوی میکرونوکلئی نسبت به گروه شاهد مشاهده نشد. این نکته تأکید کننده گزارش‌های متعددی است که در مورد قابلیت ایجاد آسیب کروموزومی و جهش‌زایی امواج فرماحتوی وجود دارد. اگرچه گزارش‌های اولیه ایجاد تبادل کرومایدی‌های خواهیری (SCE)^۱ را نشان داده‌اند (۲۲، ۲۳) اما این یافته‌ها با تحقیقات دیگر داشتمدان تأیید نشد (۲۴، ۲۵). همچنین گزارش‌های متعددی در مورد عدم ایجاد شکستهای کروموزومی در لیفسیتی‌های انسان در شرایط

۱. Sister Chromatid Exchange

Tada و همکارانش (۴۷) نشان دادند که میزان جذب داروهای شیمی درمانی دوکسوروپینین^۱ و دانوروبیین^۲ به تسهیل عمل جذب غشا توسط امواج فرماصوتی بستگی دارد.

از طرف دیگر، نشان داده شد که امواج فرماصوتی حتی در سطوح تشخیصی تولید رادیکالهای آزاد را تحیریک می‌کند (۴۸). فعالیت بسیاری از داروهای شیمی درمانی از جمله آدریامائیسین به تولید رادیکال آزاد متب شده است (۵). بنابراین مشاهده افزایش اثر کلاستوژنیک پروکاربازین هیدروکلراید پس از تابش امواج فرماصوتی می‌توانه ناشی از ایجاد رادیکال آزاد باشد که در نتیجه تجمع مولکولهای بیشتر دارو و اثر تحیریک آن تولید می‌شوند.

نتایج این پژوهش نشان دهنده آن است که داروی پروکاربازین هیدروکلراید عاملی کلاستوژن است که در دوزهای بالا موجب سبیت سلولهای مغز استخوان می‌شود. توانهای مورد استفاده امواج فرماصوتی در این بررسی قادر به ایجاد شکنندهای کروموزومی و میکرونکلئی نیستند. استفاده نوام امواج فرماصوتی و پروکاربازین سبب افزایش اثر کلاستوژنیک دارو می‌شود بدون آن که در سبیت سلولی تغییری ایجاد نماید.

مستقیم پروکاربازین بر مولکول DNA فرآیند غالبی است که در نتیجه ایجاد رادیکالهای آزاد صورت می‌گیرد. بنابراین عوامل کلاستوژن دیگر از جمله بلومایسین سولفات موجب ایجاد میکرونکلئی می‌شود (۴۹). تیمار همزمان پروکاربازین هیدروکلراید و امواج فرماصوتی سبب افزایش فراوانی میکرونکلئی تسبیت به تیمار با داروی تنها شده است. (جدول ۱، نسودار^۳) که این تفاوت از نظر آماری در سطح بالای (P=0.013) معنی دار است. مکانیزم چگونگی تأثیر امواج فرماصوتی در محیط سلولی با سطح تابش مورد استفاده در این بررسی کاملاً مشخص نیست؛ زیرا تغییر دمای ایجاد شده در محیط بسیار جزیی و القای حفظه‌سازی از احتمال کمتری برخوردار است. اغلب نتایج منتشر شده در مورد امواج فرماصوتی پیوسته (۴۱) با یکدیگر تناقض دارند. تصور می‌شود که یکنی از نقاط تأثیرپذیر سلول، غشای پلاسمای آن باشد (۴۲). در بررسیهای انجام شده با امواج فرماصوتی همراه با شیمی درمانی نشان داده شد که امواج فرماصوتی غلظت دارویی درون سلولی را افزایش می‌دهد (۴۳)، که نشان دهنده آن است امواج فرماصوتی بر غشای سلول و عملکرد آن تأثیر می‌گذارد (۴۴). Ter Haar و همکاران (۴۵، ۱۱) اثر هم افزایی برخی از داروهای شیمی درمانی با امواج فرماصوتی را به تأثیرپذیری غشای سلول از امواج فرماصوتی نسبت دادند، همچنین

References

1. Todd P, Schroy CB: X-ray interaction of cultured mammalian cells: enhancement by ultrasound. Radiology 1974; 113: 445-447
2. Harkanyi J, Vigari Z: A search for the effect of ultrasound alone and in combination with x-rays on chromosomes in vivo. Br J Radiol 1978; 51: 46-49
3. Kondo T, Kano E: Absence of synergistic enhancement of nonthermal effects of ultrasound on cell killing induced by ionizing radiation. Int J Radiat Biol 1987; 52: 627-633
4. Loverock P, Ter Haar G: Synergism between hyperthermia, ultrasound and γ -irradiation. Ultrason Med Biol, 1991; 17: 607-612
5. Harrison GH, Balcer - Kubiczek EK, Gutierrez PL: In vitro action of continuous wave ultrasound combined with adriamycin, X-rays and hyperthermia. Radiat Res 1996; 145: 98-101
6. Vera GV, Aleksandra F, Dragan K, Andrija H: Assessment of genome damage in occupational exposure to ionizing radiation and ultrasound. Mutation Res 1997; 395: 101-105
7. Ter Haar G, Stratford IJ, Hill CR: Ultrasonic irradiation of mammalian cells in vitro hyperthermic temperatures. Br J Radiol 1980; 53: 784-789
8. Inoue M, Miller MW, Church CC: An alternative explanation for a postulated non-thermal-non cavitation ultrasound mechanism of action on in vitro cells at hyperthermic temperature. Ultrasonics 1990; 28: 185-189
9. Yomita N, Okumura A, Nishigaki R, Umemura K, Umemura S: The combination treatment of ultrasound and anticancer drugs on Yoshida sarcoma. Jpn J Hyperthermic Oncol 1987; 3: 175-182
10. Jelfurs RJ, Feng RQ, Fowlkes JB, Boenner DE, Cain CA: Sonodynamic therapy: activation of anticancer agents with ultrasound. Proc IEEE/SU/993. Ultrason Symp, 1991, 1367-1370
11. Harrison GH, Balcer-kubiczek EK, Eddy HA: Potentiation of chemotherapy by low level ultrasound. Int J Radiat Biol 1991; 59: 1453-1466
12. Saad AH, Hahn GM: Ultrasound - enhanced effects of adriamycin against murine tumours. Ultrasound Med Biol 1992; 8: 715-723
13. Umemura S, Yumita N, Nishigaki R: Enhancement of ultrasonically induced cell damage by a Gallium - Porphyrin Complex Atx-70. Jpn J Cancer Res 1993; 84: 582-588
14. Kessel D, Jeffers R, Fowlkes, JB, Cain CA: Porphyrin induced enhancement of ultrasound cytotoxicity. Int J Radiat Biol 1994; 66: 221-228
1. Doxorubicin
2. Daunorubicin

15. Yumita N, Nishigaki R, Umemura K, Morse PP, Swartz HM, Cain CA, Umemura S: Sonochemical activation of hematoporphyrin: an ESR study. *Radiation Res* 1994; 138: 171-176
16. Akimoto R: An experimental study on enhancement of the effect of anticancer drug by ultrasound. *J Jpn Soc Cancer Therpy* 1985; 20: 562-570
17. Loverock P, Ter Haar G, Ormerod MG, Imrie PR: The effect of ultrasound on the cytotoxicity of adriamycin. *Br J Radiol* 1990; 63: 542-546
18. Vivino A, Soraker DK, Miller DL, Nyborg WL: Stable cavitation at low ultrasonic intensities induces cell death and inhibits $^{3}\text{H-TdR}$ incorporation by con-A-stimulated murine lymphocytes in vitro. *Ultrasound in Med Biol* 1985; 11: 751-759
19. Matter B, Schmid W: Trenimon induced chromosomal damage in bone marrow cells of six mammalian species evaluated by the micronucleus test. *Mutation Res* 1971; 12: 417-425
20. Von Ledebur M, Schmid W: The micronucleus test. Methodological aspects. *Mutation Res* 1973; 19: 109-117
21. Schmid W: The micronucleus test. *Mutation Res* 1975; 31: 9-15
22. Liebeskind D, Bases R, Mendez F: Sister chromatid exchanges in human lymphocytes after exposure to diagnostic ultrasound. *Science* 1979; 205: 1273-1275
23. Goss SA: Report of the bioeffects committee of the American Institute of ultrasound in medicine; sister chromatid exchange and ultrasound. *J Ultrasound Med* 1984; 3: 463-470
24. Ciaravino V, Miller MW, Carstensen EL, Dealecki D: Lack of effect of high intensity pulsed ultrasound on sister chromatid exchange and in vitro Chinese hamster ovary cell viability. *Ultrasound Med Biol* 1985; 11: 491-495
25. Miller MW, Azadiv M, Pettit SE, Church CC, Carstensen EL: Sister chromatid exchanges in Chinese hamster ovary cells exposed to high intensity pulsed ultrasound: Inability to confirm previous positive results. *Ultrasound Med Biol* 1989; 15: 255-262
26. Abdulla U, Talbert D, Lucas M, Mullarkey M: Effect of ultrasound on chromosomes of lymphocyte cultures. *Br Med J* 1972; 3: 797-799
27. Brock RD, Peacock WJ, Geard CR: Ultrasound and chromosome aberrations. *Med J Aust* 1973; 2: 533-536
28. Rott HD, Soldner R: The effect of ultrasound on human chromosome in vitro. *Human Genetics*, 1973; 20: 103-112
29. Macintosh IJC, Brown RC, Coakley WT: Ultrasound and in vitro chromosome aberrations. *Br J Radiol* 1975; 48: 230-232
30. Harrison GH, Balcer-Kubiczek EK: Continuous - wave ultrasound and neoplastic trasformation in vitro. *Ultrasound Med Biol* 1989; 15: 339-340
31. Ritenour ER, Braaton M, Harrison GH, Ueno A, Gadd M, Manco-Johnson M, Parker R, Shih S, Waldren CA: Absence of mutagenic effects of continuous and pulsed ultrasound in cultured (A2) human - hamster hybrid cells. *Ultrasound Med Biol* 1991; 17: 921-930
32. Miller MW, Kaufman GE, Carstensen EL: Chromosomal anomalies can not account for growth rate reduction in ultrasonicated vicia faba root meristems. *Radiat Botany* 1975; 15: 431-437
33. Cataldo FL, Miller MW, Kaufman GE: Agglomerated nuclei in ultrasonicated vicia faba roots: a partial elucidation of their derivation. *Environ Exp Botany* 1976; 16: 89-91
34. Katzung NC: Basic and clinical pharmacology; Lange Medical publication; Los Altos, California, 1984
35. Romagna F, Matsumura H, Watanabe M, Kato T, Shirasu Y, Ohmori K, Yamada H, Sasaki YF: Micronucleus evalation in peripheral blood reticulocytes of mice treated with procarbazine hydrochloride or mitomycin C. *Mutation Research* 1992; 278: 197-204
36. Harvey SC: Antineoplastic and immunoactive drugs. In: Remington's pharmaceutical sciences. Mack publishing company, Euston, Pennsylvania, 1990
37. Dowd AL: Physicians Desk Reference (PDR). 47th Medical Economic Data, Montvale, NJ, 1993
38. Mac Gregor JT, Wehr CM, Gould DH: Clastogen induced micronuclei in peripheral blood erythrocytes. *Environ Mutagen* 1980; 2: 509-514
39. Miller K: Clastogenic effects of bleomycin, cyclophosphamide and ethyl methanesulfonate on resting and proliferating human B-and T-lymphocytes. *Mutation Research* 1991; 251: 241-251
40. Exxon GL, Bryant MF, Kwanyuen P, Kligerman AD: Bleomycin sulfate induced micronuclei in human, rat, and mouse peripheral blood lymphocytes. *Environ Mol Mutagen* 1995; 25: 31-36
41. National Council on Radiation Protection and measurements, Biological effects of ultrasound: mechanisms and clinical implications. NCRP report 74, Bethesda MD, 1983
42. Dinno MA, Dyson M, Young SR, Mortimer AJ, Hart



- J, Crum LA; The significance of membrane changes in the safe and effective use of therapeutic and diagnostic ultrasound. Physics medicine and Biology 1989; 34: 1541-1552
43. Saad AH, Hahn GM: Ultrasound enhanced toxicity on Chinese hamster ovary cells in vitro. Cancer Research 1989; 49: 5931-5934
44. Kremkau FW, Kaufmann JS, Walker MM, Burch PG, Spurr CL: Ultrasonic enhancement of nitrogen mustard cytotoxicity in mouse leukemia. Cancer 1976; 37: 1643-1647
45. Fahnestock M, Rimer VG, Yamawaki RM, Ross P, Edmonds PD: Effects of ultrasound exposure in vitro on neuroblastoma cell membranes. Ultrasound Med Biol 1989; 15: 133-144
46. Ter Haar G, Loverock HP, Hill RC: Synergistic effects between ultrasound and some common chemotherapeutic agents. Ultrasonics 1992; 30: 115-116
47. Tada DB, Hahn G, Dunn F: Ultrasonic absorption frequency dependence of two widely used anticancer drugs: doxorubicin and daunorubicin. Ultrasonics 1993; 31: 447-450
48. Carmichael AJ, Mossoba MM, Riesz P, Christman CL: Free radical production in aqueous solution exposed to stimulated ultrasonic diagnostic conditions. IEEE Transactions on ultrasonics, Ferroelectrics, and Frequency Control, 1986; 33: 148-155

